

- 5 Pehrson JR, Changolkar LN, Costanzi C, et al. Mice without macroH2A histone variants [J]. Mol Cell Biol, 2014, 34(24): 4523–4533
- 6 Chen H, Ruiz PD, McKimpson WM et al. MacroH2A1 and ATM play opposing roles in paracrine senescence and the senescence-associated secretory phenotype [J]. Mol Cell, 2015, 59(5): 719–731
- 7 Hu WH, Miyai K, Sporn JC, et al. Loss of histone variant macroH2A2 expression associates with progression of anal neoplasm [J]. J Clin Pathol, 2016, 69(4): 279–291
- 8 Lei S, Long J, Li J. MacroH2A suppresses the proliferation of the B16 melanoma cell line [J]. Mol Med Rep, 2014, 10(4): 1845–1850
- 9 Podrini C, Koffas A, Chokshi S, et al. MacroH2A1 isoforms are associated with epigenetic markers for activation of lipogenic genes in fat-induced steatosis [J]. FASEB J, 2015, 29(5): 1676–1687
- 10 Pazienza V, Borghesan M, Mazza T, et al. SIRT1 – metabolite binding histone macroH2A1.1 protects hepatocytes against lipid accumulation [J]. Aging: Albany NY, 2014, 6(1): 35–47
- 11 Chadwick BP, Valley CM, Willard HF. Histone variant macroH2A contains two distinct macrochromatin domains capable of directing macroH2A to the inactive X chromosome [J]. Nucleic Acids Res, 2001, 29(13): 2699–2705

(收稿日期:2016-04-13)

(修回日期:2016-05-05)

两种脑出血动物模型的制备和比较研究

魏纯纯 王培 缪朝玉

摘要 目的 本研究制备两种脑出血动物模型:脑缺血后使用 tPA 诱导的出血转化模型 (MCAO – HT) 及胶原酶注射诱导的脑出血模型 (cICH), 并比较两种出血模型的异同及可能的优缺点。**方法** MCAO – HT 模型: 桡线经颈内动脉入颅, 堵塞大脑中动脉, 构建线栓法大脑中动脉堵塞模型, 堵塞后 5h 静脉注射组织型纤溶酶原激活剂 (tPA, 10mg/kg) 制备脑缺血后出血转化模型; cICH 模型: 利用脑立体定位技术, 直接向纹状体注射 0.05U 胶原酶 IV, 诱导脑出血模型。**结果** MCAO – HT 模型小鼠较 MCAO 模型小鼠, 24h 患侧半脑血红蛋白含量显著升高, MCAO – HT 模型小鼠血 – 脑脊液屏障 (BBB) 通透性显著高于 MCAO 模型小鼠; cICH 模型小鼠, 较假手术组小鼠, 24h 神经功能损伤、脑水肿、出血量和炎性水平都有显著升高。**结论** MCAO – HT 模型引起的出血为 tPA 诱导 BBB 通透性增加, 导致的“渗血”, 可能更适用于对血 – 脑脊液屏障及血管通透性的研究。而 cICH 模型引起的出血为胶原酶直接破坏小血管壁导致的“漏血”, 可能更适用于出血诱导的水肿、炎性反应、细胞死亡和氧化应激的研究。

关键词 脑缺血 出血转化 脑出血 动物模型

中图分类号 R96

文献标识码 A

DOI 10.11969/j.issn.1673-548X.2016.11.011

Construction and Comparison of Two Animal Models of Cerebral Hemorrhage. Wei Chunchun, Wang Pei, Miao Chaoyu. The Second Military Medical University, Shanghai 200433, China

Abstract Objective To construct two animal models of cerebral hemorrhage: tPA – induced cerebral ischemia hemorrhagic transformation (MCAO – HT) model and collagenase – induced ICH (cICH) model, and compare the similarities and differences of these two intracerebral hemorrhage models. **Methods** MCAO – HT model: We built suture MCAO model by blocking of the middle cerebral artery with suture, after five hours, we injected tissue plasminogen activator (tPA, 10mg/kg) intravenously to induce hemorrhagic transformation. cICH model: intracerebral hemorrhage model was induced by stereotaxic injection of 0.05U collagenase IV into the striatum. **Results** In comparison with MCAO model mice, ipsilateral hemisphere hemoglobin and blood brain barrier (BBB) permeability in MCAO – HT model mice increased significantly at 24 hours after surgery. Compared with sham – operated mice, neurological damage, cerebral edema, hemorrhage inflammation levels had increased significantly in cICH model mice at 24 hours after surgery. **Conclusion** MCAO – HT model induced bleeding functioned by tPA – induced increasing of BBB permeability, which might be better for blood – brain barrier and vascular permeability study. Bleeding of cICH model caused by collagenase induced small blood vessels rupture, which suggested to be a better method to do the hemorrhage – induced edema, inflammation, cell death and oxidative stimulated research.

Key words Cerebral ischemia; Hemorrhagic transformation; Intracerebral hemorrhage; Animal model

基金项目:国家自然科学基金资助项目(81373414, 81130061, 81422049, 81473208); 国家“863”青年科学家项目(2015AA020943)

作者单位:200433 上海,中国人民解放军第二军医大学药理学教研室

通讯作者:缪朝玉,教授,博士生导师,电子信箱:cymiao@smmu.edu.cn

脑卒中是脑血液循环障碍引起的急性脑血管病,因为循环障碍的原因不同主要分为缺血性脑卒中和出血性脑卒中,也分别称为脑缺血和脑出血(intracerebral hemorrhage, ICH)。

缺血性脑卒中约占全部卒中的 80%,是由各种原因引起的局部脑组织供血障碍,导致缺血缺氧性的脑组织病变坏死,进而造成一系列的神经功能损伤。在缺血性脑卒中的病理发展过程中,有一种状态兼具缺血性脑卒中和出血性脑卒中的特征,即脑缺血后出血转化(hemorrhagic transformation, HT),在脑缺血患者中,出血转化与病死率升高正相关^[1]。大脑中动脉阻塞(middle cerebral artery occlusion, MCAO)模型,主要包括线栓法、电凝法和血栓栓子阻塞法等,目前广泛应用于缺血性脑卒中临床前研究。但是,用于研究脑缺血后出血转化的模型只有零星报道。笔者比较了永久性大脑中动脉阻塞模型(pMCAO)和暂时性大脑中动脉阻塞模型(tMCAO),在脑缺血后出血转化模型中的应用,并用永久性大脑中动脉阻塞模型成功制备了脑缺血后出血转化模型。

脑出血是致命的卒中类型,有较高的发生率和病死率^[2,3]。脑出血约占全部卒中的 10%~15%,其发生率与种族相关,例如在中国人中,脑出血约占全部卒中的 33%,而在白种人中仅为 12%^[4]。有报道指出,脑出血发病后 1 个月病死率约为 40%,过去 20 年医疗水平的提高并不能降低脑出血的病死率,而且幸存的患者也要忍受长期的身体和意识障碍^[5]。脑出血的高复发率和致死率是由于缺乏有效的治疗选择,因为现有的临床治疗方法还仅限于初级治疗,如控制颅内压、治疗血肿和维持血流动力学稳定^[2,6]。脑出血后脑损伤和修复的机制尚不明确。近 20 年来,依赖于动物模型,脑出血临床前研究对脑出血病理过程有了初步认识。目前最常用的两种脑出血动物模型是全血模型(bICH)和胶原酶模型(cICH),其中胶原酶模型使用最为广泛。胶原酶模型最早由 Rosenberg 等^[7]发现和使用。笔者对传统的胶原酶脑出血模型进行了调整,提高了出血位点和出血量的一致性,减少了操作造成的脑损伤。本研究成功制备了脑缺血后使用 tPA 诱导的出血转化模型(MCAO- HT)及胶原酶注射诱导的脑出血模型(cICH),并比较两种脑出血动物模型的异同及优缺点。

材料与方法

1. 实验动物:C57BL/6 小鼠,体质量 25~30g,雄

性;ICR 小鼠,体质量 25~30g,雄性,均购自上海斯莱克实验动物中心,在清洁级动物房饲养。

2. 脑缺血后出血转化模型制备:(1) MCAO 模型的制备:取体质量为 25~30g 时雄性 ICR 小鼠,腹腔注射水合氯醛(400mg/kg)麻醉小鼠,仰姿固定在鼠板上。沿颈正中线从胸骨上沿到下颌剪开约 1.5cm 长的切口,钝性分离颈总动脉,游离出一段包括颈外动脉和颈内动脉分叉的动脉。穿入 3 根提前用无菌水湿润的长约 4cm 的 3-0 结扎线。两根置于远心端,1 根置于近心端。结扎近心端结扎线,远心端 2 根结扎线,1 根用止血钳夹住两端,向远心端牵拉,起到阻断血流和固定血管的作用,另 1 根在颈总动脉距颈内外动脉交叉处 1mm 的位置预结扎。在靠近近心端结扎点的位置,斜 45 度剪开约血管 1/2 口径的缺口。取线身直径 0.126mm,头端直径 0.25mm(用硅胶包被)的栓线,从缺口处插入,头端到达颈内和颈外交叉处后轻轻结扎预留 3-0 结扎线。剪断用于牵拉血管的 3-0 结扎线,调整栓线尾部,向颈内动脉插入,进入颈内动脉 9~11mm 处。此时,轻微的阻力表明栓线的顶端已位于大脑前动脉的近端,阻塞了同侧大脑中动脉和后交通动脉的起源。扎死之前轻轻结扎的 3-0 结扎线,剪掉多余线头。缝合伤口,将小鼠放于 37°C 恒温笼复苏。(2) tPA 诱导 MCAO 出血转化:用 1ml 注射器推进柄头端橡皮塞和针头,制备简易静脉留置针,将充满生理盐水的注射器插入静脉留置针,轻轻推动使留置针内部充满生理盐水,用留置针头端插入尾静脉,推动注射器验证是否真的在尾静脉内,并拔出注射器,固定尾巴和静脉留置针。将 1ml 注射器去掉针头,并与一带有针头的软管相连,并充满 tPA 生理盐水溶液。注射器安装到微量推注泵上,堵塞大脑中动脉 5h 后,将软管的针头插入静脉留置针,并推入 1mg/kg(0.001mg/μl) tPA 生理盐水溶液。调整泵的速度,使 9mg/kg tPA 在 30min 内推入小鼠静脉。注射结束后,拔掉留置针,止血后将小鼠放于 37°C 恒温笼复苏。

3. 脑出血模型制备:取体质量为 25~30g 的 C57BL/6 雄性小鼠,腹腔注射水合氯醛(400mg/kg)麻醉小鼠。划一个从两眼之间开始到 λ 区后的一个纵向的切口,暴露出头骨,用抹刀的圆端刮掉骨膜并用干棉球擦干头骨。把小鼠固定在脑立体定位仪上,调整头骨的上表面使它平行于立体定位装置的水平板。在头骨上标记进入点的坐标(中线侧向 2.3mm,前囟向前 0.2mm)。在标记的点刺出一个穿透头骨

的毛刺洞(直径 1mm)。调整坐标使微量注射器针头(针头外径 0.33mm, 量程: 5 μ l)穿过钻孔, 缓慢推进(1mm/min)使它通过硬脑膜洞到达靶向位置(深度 3.5mm)。以 0.2 μ l/min 的速度缓慢推注胶原酶 IV(0.05U/ μ l), 共注射 1 μ l (0.05U)。注射结束后, 针头留在原处 5min。将针头缓慢移出(1mm/min)。将事先温热的骨蜡涂抹到钻孔上, 缝合皮肤, 将动物从脑立体定位仪上移开。腹腔注射 0.5ml 无菌生理盐水, 将动物放置在 37℃ 恒温笼复苏。

4. 神经功能评分: 小鼠放置在横木上(1.2m 长、1.5cm 宽、50cm 高)。神经功能评分: 0 分: 小鼠不能在横木上保持平衡(<5s); 1 分: 小鼠可以在横木上保持平衡(>5s), 但是不能在横木上移动; 2 分: 小鼠可以在横木上移动, 但是不能遍历横木; 3 分: 小鼠遍历横木时受影响肢体伸展且不接触横木表面, 或者在横木中间掉头; 4 分: 小鼠遍历横木时脚底打滑频率 100%; 5 分: 小鼠遍历横木时脚底打滑频率 >50% 且 <100%; 6 分: 小鼠遍历横木时脚底打滑频率 <50%; 7 分: 小鼠遍历横木时脚底打滑次数 <2 次。最终结果用 3 次测试的平均分表示。利用此方法测神经功能, 需要在造模前一天对小鼠进行独木桥行走训练。

5. tPA 脑室注射: 脑室注射的操作同 cICH 模型制备方法, 注射坐标为: 中线侧向 1mm, 前囟向后 0.2mm, 深度为 3mm, tPA 注射剂量为 7.02 微克/只。

6. 脑水肿检测: cICH 造模后 24h, 麻醉小鼠, 取脑并分为小脑、患侧皮质、患侧基底核、对侧皮质、对侧基底核 5 个部分, 并称量湿重。然后将组织 100℃, 24h 烘干, 称量干重。脑含水量(%) = [(湿重 - 干重)/湿重] × 100%。

7. 出血量检测: cICH 造模后 24h, 麻醉小鼠, 取脑, 弃去端脑和小脑。将大脑沿中线分为患侧半脑和对侧半脑。置于 300 μ l 无菌水中研磨, 后 12000r/min, 离心 30min。取上清用 QuantiChrom™ Hemoglobin Assay Kit (DIHB-250)(购自上海天承生物科技有限公司)测血红蛋白含量。

8. BBB 通透性检测: cICH 后 22h 尾静脉注射 4% 伊文思蓝(Evans blue)生理盐水溶液(10 μ l/g), 24h 进行心脏灌流 15ml/min, 6min。取材, 分为患侧半脑和对侧半脑。置于 0.5ml 50% 三氯乙酸水溶液中, 匀浆, 室温静置 5min。15000r/min, 离心 30min, 取上清测 610nm 处吸光度。利用标准曲线算出样品伊文思蓝含量。

9. 血肿及周围组织总 RNA 提取和 RT-PCR: cICH 造模后 24h, 麻醉小鼠, 取脑血肿周围组织, 置液氮中速冻后于 -80℃ 保存。用 TRIzol 提取总 RNA, 用 Super-Script-III 反转录试剂盒、Oligo(dT) 为引物合成 cDNA 链; 用 SYBRgreen 和 β -actin、IL-1 β 和 TNF- α 引物进行扩增。由荧光曲线上读出 Ct 值, β -actin 为内参照, 计算 IL-1 β 和 TNF- α 表达相对量。以 Sham 组患侧半脑组织 IL-1 β 和 TNF- α 为基数, 计算 cICH 模型组 IL-1 β 和 TNF- α 表达水平的升高倍数。

10. 统计学方法: 采用 GraphPad 软件进行统计学分析。Sham 组和模型组之间出血量、BBB、水肿等采用双样本等方差假设 t 检验分析; Sham 组和模型组之间神经功能评分数据采用两独立样本秩和检验分析, 以 $P < 0.05$ 为差异有统计学意义。

结 果

1. pMCAO-HT 较 tMCAO-HT 有较低的死亡率: 笔者分别做了在给 tPA 时实施再灌注(tMCAO-HT, 图 1A)和永久梗死(pMCAO-HT, 图 1B), 两种出血转化模型。发现前者 24h 后死亡率高达 55.3%, 而后者 24h 死亡率为 6%, pMCAO-HT 模型死亡率显著低于 tMCAO-HT 模型($P = 0.000$, 图 1C)。

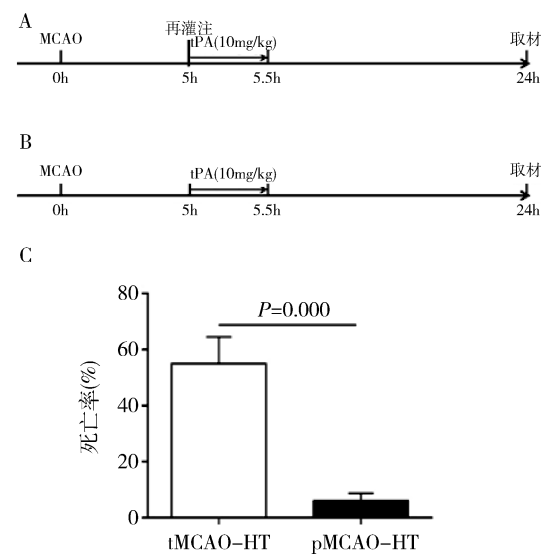


图 1 MCAO-HT 模型的制备

A. tMCAO-HT 模型示意图; B. pMCAO-HT 模型示意图;
C. 两种出血转化模型的死亡率

2. tPA 可诱导小鼠脑缺血后出血转化: 永久性大鼠脑中动脉阻塞模型, 在阻塞后 5h 给 tPA 诱导, 发现有明显出血(图 2A)。检测患侧半脑血红蛋白含量, 发

现 MCAO - HT 组 ($n = 17$) 血红蛋白含量显著高于 MCAO 组 ($n = 7$) ($P < 0.05$, 图 2B)。

3. tPA 对小鼠 BBB 通透性的影响: 利用伊文思蓝静脉注射, 检测出血转化对小鼠 BBB 通透性的影响。从图 3A 可以看出, MCAO - HT 模型小鼠较 MCAO 模型小鼠进入脑组织的伊文思蓝明显增多。统计结果显示, MCAO - HT 模型小鼠 ($n = 5$) BBB 通透性显著高于 MCAO 模型小鼠 ($n = 5$) (图 3B)。在正常小鼠中, 脑室注射 tPA 溶液, 可显著升高小鼠 BBB 通透性 (图 3C)。

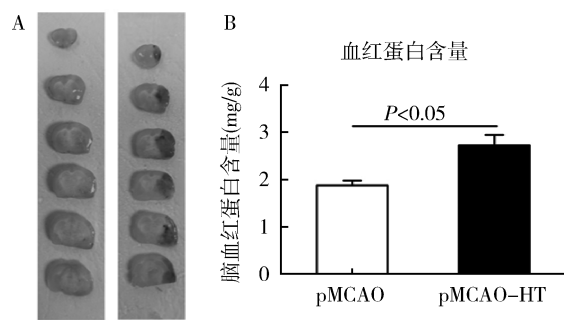


图 2 tPA 诱导脑缺血出血转化

A. pMCAO - HT 和 pMCAO 模型小鼠脑组织切片;
B. pMCAO - HT 和 pMCAO 模型小鼠患侧半脑血红蛋白含量

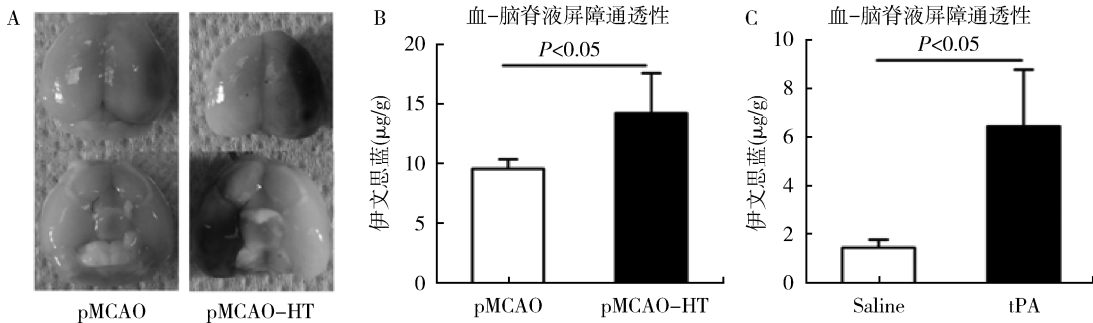


图 3 tPA 对 BBB 通透性的影响

A. 伊文思蓝渗入脑组织; B. pMCAO - HT 和 pMCAO 模型小鼠 BBB 通透性; C. 脑室注射 tPA 对 BBB 通透性的影响

4. 纹状体注射胶原酶成功诱导脑出血模型: 纹状体注射胶原酶后 24h, 取材, 发现模型组明显出血 (图 4A), 检测患侧半脑血红蛋白含量, 发现模型组 ($n = 6$) 较假手术组 ($n = 5$) 血红蛋白含量显著增加 ($P = 0.000$, 图 4B)。

5. cICH 模型小鼠神经功能和脑水含量的变化: 注射胶原酶后 12h、1 天和 3 天检测小鼠神经功能, 发现假手术组 ($n = 3$) 和模型组 ($n = 6$) 神经功能有显著差异 ($P = 0.000$, 图 5A)。注射胶原酶后 24h 检测脑水含量, 发现模型组 ($n = 4$) 患侧基底核水含量较假手术组 ($n = 4$) 显著升高 ($P < 0.01$, 图 5B)。

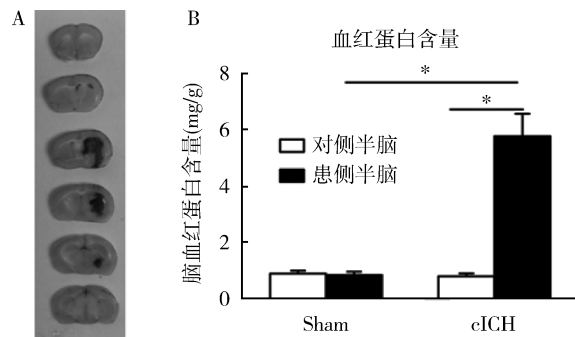


图 4 cICH 模型的制备

A. cICH 模型小鼠脑组织切片; B. cICH 模型和 Sham 组小鼠患侧半脑血红蛋白含量, * $P = 0.000$

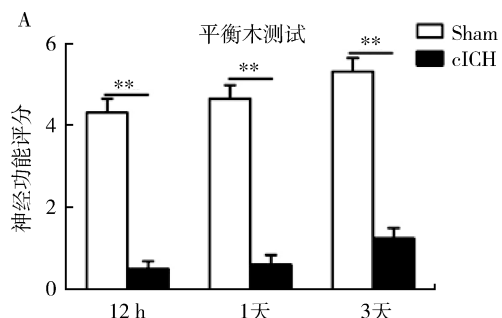


图 5 cICH 模型小鼠神经功能和脑水含量的变化

A. cICH 模型和 Sham 组小鼠神经功能评分; B. cICH 模型和 Sham 组小鼠脑水含量 * $P < 0.01$, ** $P = 0.000$

6. cICH 模型小鼠脑组织炎性水平的变化:cICH 造模后 24h, 检测血肿周围组织炎性水平, 发现 cICH

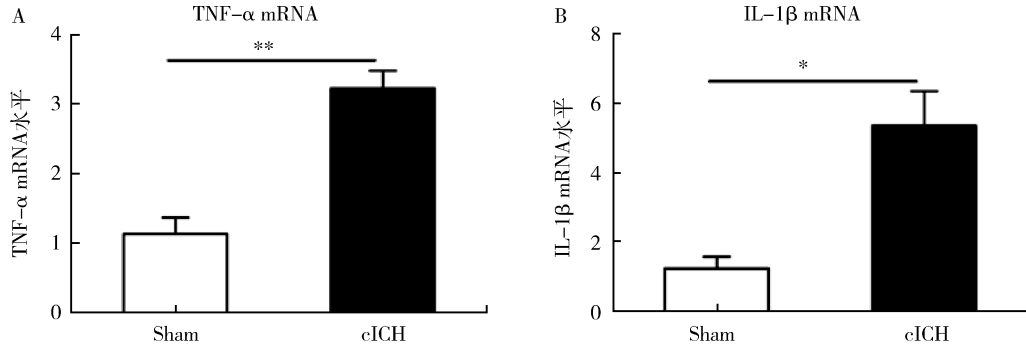


图 6 cICH 模型小鼠血肿及周围组织炎性因子水平

A. cICH 模型和 Sham 组小鼠血肿周围组织 TNF- α mRNA 水平; B. cICH 模型和 Sham 组小鼠血肿周围组织 IL-1 β mRNA 水平, * $P < 0.01$, ** $P = 0.000$

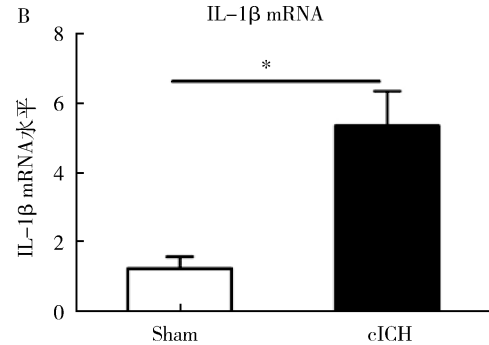
讨 论

1. 提高手术成功率的主要体会:在脑缺血后出血转化模型中,为了提高手术成功率,笔者的体会是:①固定小鼠时,小鼠四肢和牙齿均需固定,尽量使小鼠左右对称平躺在鼠板上;②分离血管时注意不要损伤动脉伴行神经,不要撕破肌肉,尽量将血管牵连经膜分离干净;③栓线在插入颈总动脉后,结扎要松紧适度,因为太紧会影响进线,太松会出血;④在进线过程中,为避免栓线进入颈外动脉或翼鄂动脉,要注意调整进线方向。此外在翼鄂动脉交叉和大脑中动脉交叉处,都可能出现插不动的情况,轻轻回拉栓线 1mm,再插入时调整线栓朝避免进入该血管的方向推进即可;⑤在静脉注射 tPA 时需要进行第 2 次麻醉,要注意控制剂量,防止小鼠因为麻醉过量死亡。

在胶原酶诱导的脑出血模型中,为提高手术成功率,笔者的体会是:①在寻找前囟位点时,要将头骨上骨膜刮掉,用干棉球擦拭,待头骨干燥后前囟的位置会清晰可见,定位时,前囟的坐标要定位准确;②在头骨上刺孔时,要把握好力度,尽量减少对脑组织的损伤;③进针速度、出针速度和进药速度要慢,且保持一致;④进药完成后,要停针 5min,以便胶原酶扩散,并防止其从针孔溢出。

2. 结果分析:在短暂性阻塞大脑中动脉模型中,较高的死亡率可能与以下几个原因有关:①在插线过程中因为操作原因使血管破裂,拔线后从破裂处出血,造成颅底出血;②在拔线过程中对血管的牵拉作用,造成了血管的损伤;③拔线造成的缺血再灌注,加重了脑损伤。如此高的死亡率导致 tMCAO 模型不适用于制备 MCAO - HT 模型。

模型小鼠脑血肿周围组织 TNF- α (图 6A) 和 IL-1 β (图 6B)mRNA 水平显著高于假手术组小鼠脑组织。



有报道指出,tPA 引起的出血可能和血-脑脊液屏障通透性的升高有关^[8,9]。笔者的结果也支持这个观点,脑室注射 tPA 后 BBB 通透性的改变,则直接证明了 tPA 增加 BBB 通透性的作用。

胶原酶诱导的出血,是由于胶原酶可分解胞外基质,破坏血管壁,造成多个血管出血。胶原酶诱导出血后,血液进入脑组织,诱发凝血反应,凝血酶对包括脑血管内皮细胞在内的多种细胞类型起作用,导致脑水肿的形成^[10]。笔者注射的位点是纹状体,所以表现为患侧基底核水肿比较严重。随着凝血反应,炎症和血红蛋白毒性的作用,神经元和胶质细胞死亡,造成神经功能损伤。凝血酶对包括脑血管内皮细胞在内的多种细胞类型起作用,导致 BBB 破坏,脑水肿的形成^[11]。另外神经功能的损伤也和血肿造成的脑区挤压有关^[12]。

3. 两种模型的异同和优缺点:从制备的难易程度方面比较,cICH 模型步骤简单,只需注射微量胶原酶 IV 溶液即可,操作时间短,小鼠存活率高。而 MCAO - HT 模型步骤较多,操作时间长,操作难度大,小鼠存活率低。

从脑损伤机制方面比较,两种模型中都同时存在缺血性和出血性的脑损伤,但两种损伤的比重不同。在脑缺血后出血转化模型中,主要的损伤由缺血、缺氧引起,tPA 诱导的出血转化,使血液渗入脑组织,诱导出血性脑损伤。在脑出血模型中,血液进入脑组织,形成血肿,造成颅内压升高,升高的颅内压可压缩脑区,影响血流,导致脑疝。更重要的是,出血诱导了机体/组织的凝血反应、炎性反应和血红蛋白的毒性作用,这些都是出血性损伤。另外,由于出血造成的血流

中断,也会导致局部组织缺血、缺氧,诱发缺血性损伤。

从出血方式和出血量方面比较,MCAO- HT 模型引起的出血为 tPA 诱导 BBB 通透性增加,而导致的“渗血”,只有少量血液进入脑组织。而 cICH 模型引起的出血为胶原酶破坏小血管壁而导致的“漏血”,大量血液进入脑组织。

笔者认为,MCAO- HT 模型可能更适用于血- 脑脊液屏障和血管通透性对出血及其诱导脑损伤影响的研究,尤其是脑缺血后使用 tPA 溶栓治疗的使用时间窗口、给药策略等相关的一些研究。而 cICH 模型,由于大量血液成分直接进入脑组织,会诱导强烈的凝血反应、炎性反应、细胞死亡和氧化应激,因此 cICH 模型可能更适宜于研究脑出血后初始脑损伤和一系列的继发脑损伤,筛选出血性卒中潜在的治疗药物。

参考文献

- Candelise L, Ciccone A, Motto C. Extraparenchymal bleeding predicts an unfavorable outcome in patients with hemorrhagic transformation[J]. Stroke, 2000, 31(7):1785-1791
- Keep RF, Hua Y, Xi G. Intracerebral haemorrhage: mechanisms of injury and therapeutic targets [J]. Lancet Neurol, 2012, 11(8):720-731
- Qureshi AI, Mendelow AD, Hanley DF. Intracerebral haemorrhage [J]. Lancet, 2009, 373(9675):1632-1644
- Tsai CF, Thomas B, Sudlow CL. Epidemiology of stroke and its sub-

(上接第 168 页)

- Subramaniam D, Natarajan G, Ramalingam S, et al. Translation inhibition during cell cycle arrest and apoptosis: Mcl-1 is a novel target for RNA binding protein CUGBP2 [J]. Am J Physiol Gas - traintest Liver Physiol, 2008, 294(4): 1025-1032
- Dzhagalov I, Dunkle A, He YW. The anti-apoptotic Bcl-2 family member Mcl-1 promotes T lymphocyte survival at multiple stages [J]. J Immunol, 2008, 181(1): 521-528
- Akgul C, Kgule Moulding DA, White MR, et al. In vivo localization and stability of human Mcl-1 using green fluorescent protein (GFP) fusion proteins [J]. FEBS Lett, 2000, 478(1-2): 72-76
- Willis SN, Chen L, Dawson G, et al. Proapoptotic Bak is sequestered by Mcl-1 and Bcl-xL, but not Bcl-2, until displaced by BH3-only proteins [J]. Genes Dev, 2005, 19(11): 1294-1305
- Hernandez JM, Farma JM, Coppola D, et al. Expression of the anti-apoptotic protein survivin in colon cancer [J]. Clin Colorectal Cancer, 2011, 10(3): 188-193
- Wertz IE, Kusam S, Lam C, et al. Sensitivity to antitubulin chemo-

types in Chinese vs white populations: a systematic review [J]. Neurology, 2013, 81(3):264-272

- Provencio JJ, Da Silva IR, Manno EM. Intracerebral hemorrhage: new challenges and steps forward [J]. Neurosurg Clin N Am, 2013, 24(3):349-359
- Flower O, Smith M. The acute management of intracerebral hemorrhage [J]. Curr Opin Crit Care, 2011, 17(2):106-114
- Rosenberg GA, Mun-Bryce S, Wesley M, et al. Collagenase-induced intracerebral hemorrhage in rats [J]. Stroke, 1990, 21(5):801-807
- Su EJ, Fredriksson L, Geyer M, et al. Activation of PDGF-CC by tissue plasminogen activator impairs blood-brain barrier integrity during ischemic stroke [J]. Nat Med, 2008, 14(7):731-737
- Wang Y, Zhang Z, Chow N, et al. An activated protein C analog with reduced anticoagulant activity extends the therapeutic window of tissue plasminogen activator for ischemic stroke in rodents [J]. Stroke, 2012, 43(9):2444-2449
- Liu DZ, Ander BP, Xu H, et al. Blood-brain barrier breakdown and repair by Src after thrombin-induced injury [J]. Ann Neurol, 2010, 67(4):526-533
- Wagner KR, Sharp FR, Ardizzone TD, et al. Heme and iron metabolism: role in cerebral hemorrhage [J]. J Cereb Blood Flow Metab, 2003, 23(6):629-652
- Zazulia AR, Diringer MN, Derdeyn CP, et al. Progression of mass effect after intracerebral hemorrhage [J]. Stroke, 1999, 30(6):1167-1173

(收稿日期:2016-05-19)

(修回日期:2016-05-26)

therapeutics is regulated by MCL1 and FBW7 [J]. Nature, 2011, 471:110-114

- Túrraga López PJ, Albero JS, Rodríguez-Montes JA. Primary and secondary prevention of colorectal cancer [J]. Clin Med Insights Gastroenterol, 2014, 7: 33-46
- Townsend KJ, Trusty JL, Traupman MA, et al. Expression of the antiapoptotic MCL1 gene product is regulated by a mitogen activated protein kinase-mediated pathway triggered through microtubule disruption and protein kinase C [J]. Oncogene, 1998, 17:1223-1234
- Eichhorn JM, Alfond SE, Sakurikar N, et al. Molecular analysis of functional redundancy among anti-apoptotic Bcl-2 proteins and its role in cancer cell survival [J]. Exp Cell Res, 2014, 322(2): 415-424
- Rhonda M, Perciavalle, Daniel P, et al. Anti-apoptotic MCL-1 localizes to the mitochondrial matrix and couples mitochondrial fusion to respiration [J]. Nat Cell Biol, 2012, 14(6): 575-583

(收稿日期:2016-03-29)

(修回日期:2016-04-11)